



اختر علومی صنایع رسانه ایران

# AMNC

available online @ amnc.aut.ac.ir

نشریه علمی پژوهشی مواد پیشرفته و پوشش‌های نوین - ۲۶ (۱۳۹۷-۱۸۲۲-۱۸۲۵)

## بررسی الکتروشیمیایی تشکیل لایه SEI در فرایند فرماسیون آند گرافیت طبیعی در باتری لیتیم-یون

محمد زارعی جلیانی<sup>۱</sup>, شقایق بکاشیان<sup>۲</sup>, محسن بابایی<sup>۳</sup>, عبدالمحیج قاسمی<sup>۴</sup>, رحیم اقره<sup>۵</sup>

۱ کارشناسی ارشد مهندسی انرژی، پژوهشکده مکانیک، پژوهشگاه فضایی ایران، شیراز، ایران

۲ کارشناسی ارشد مهندسی مواد، پژوهشکده مکانیک، پژوهشگاه فضایی ایران، شیراز، ایران

۳ دکتری مهندسی مواد، پژوهشکده مکانیک، پژوهشگاه فضایی ایران، شیراز، ایران

۴ دکتری شیمی فیزیک، پژوهشکده مکانیک، پژوهشگاه فضایی ایران، شیراز، ایران

۵ استادیار، دکتری مهندسی مواد، پژوهشکده مکانیک، پژوهشگاه فضایی ایران، شیراز، ایران



تاریخ دریافت:

۹۷/۰۸/۰۷

تاریخ پذیرش:

۹۷/۰۹/۰۵

لایه فصل مشترک الکتروولیتی جامد (SEI) یک فیلم سطحی است که از طریق تجزیه الکتروولیت در باتری لیتیم-یون روی سطح آند تشکیل می‌شود. درک صحیح از فرایند تشکیل لایه SEI در آندهای گرافیتی می‌تواند دید وسیع تری در خصوص غلبه بر چالش‌های بر جالش‌های مربوط به این آندها ایجاد کند که منجر به عملکرد شارژ/دشارژ بهتر خواهد شد. در این پژوهش آزمون‌های ولتاوری چرخه‌ای، طیف‌سنجی امپدانس الکتروشیمیایی و آزمون شارژ/دشارژ متوالی برای سل سکه‌ای آند گرافیتی به کار گرفته شده است تا فهم دقیقی از فرایند تشکیل فیلم SEI روی سطح آند گرافیت به دست آید. نتایج آزمون ولتاوری چرخه‌ای نشان می‌دهد که بخش اعظم لایه SEI در چرخه اول تشکیل می‌گردد و با ادامه چرخه‌های ولتاوری لایه SEI به پایداری می‌رسد. بررسی‌های امپدانس الکتروشیمیایی نشان می‌دهد که مقاومت انتقال بار (R<sub>ct</sub>) آند گرافیت پس از چرخه‌های الکتروشیمیایی از ۲۸/۵ Ω به ۱۲۲ Ω کاهش یافته است که این موضوع نشان‌دهنده تسهیل فرایند انتقال بار پس از تشکیل لایه SEI می‌باشد. نتایج آزمون شارژ/دشارژ متوالی سل سکه‌ای آند گرافیت نیز نشان می‌دهد که مقدار ظرفیت غیربرگشت‌پذیر در چرخه اول (که صرف تشکیل لایه SEI شده) به مرتبه بیشتر از مقدار ظرفیت غیربرگشت‌پذیر در چرخه‌های بعدی است. با توجه به آن که پس از چرخه دوم، لایه SEI تقریباً به پایداری رسیده است، می‌توان گفت روش فرماسیون یک سل لیتیم-یونی با آند گرافیت می‌تواند در دو چرخه شارژ/دشارژ انجام پذیرد.



گرافیت، آند، فصل مشترک الکتروولیتی جامد، لایه SEI،  
باتری لیتیم-یون

واژگان کلیدی

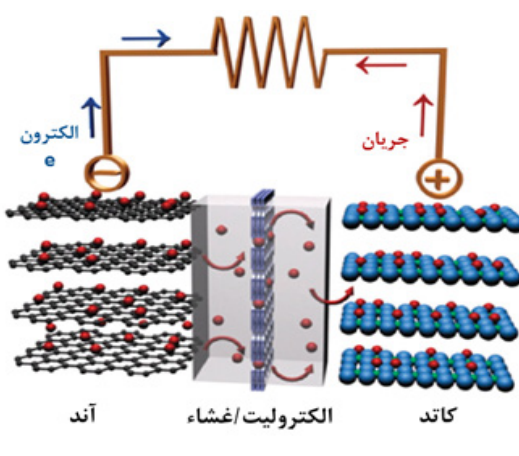
## (۱) مقدمه

می‌تواند دید وسیع‌تری در خصوص غلبه بر چالش‌های مربوط به این آندها ایجاد کند که منجر به عملکرد چرخه‌ای بهتر خواهد شد. در همین راستا این پژوهش به بررسی و درک فرایند تشکیل لایه SEI و همچنین سینتیک درج/حذف یون لیتیم در آند گرافیت طبیعی خواهد پرداخت. پدیده‌های سطحی و تشکیل SEI در سل‌های لیتیم-یون با استفاده از طیف‌سنجی امپدانس [۱۵، ۱۶] آنالیز می‌شوند. علاوه بر این سینتیک درج/حذف لیتیم در یک ذره از الکترود با استفاده از ولتاژی چرخه‌ای بررسی می‌گردد.

در این مطالعه، آزمون‌های ولتاژی چرخه‌ای و طیف‌سنجی امپدانس الکتروشیمیایی برای بررسی فصل مشترک آند/الکتروولیت، تشکیل لایه SEI و سینتیک انتقال یون لیتیم طی فرایندهای الکتروشیمیایی درج و حذف لیتیم برای آند گرافیت طبیعی مورد استفاده قرار گرفته است. ولتاژی چرخه‌ای نه تنها درک مناسبی درخصوص تشکیل SEI و سینتیک درج/حذف یون لیتیم ایجاد می‌کند، بلکه اطلاعات مفیدی درخصوص پایداری الکتروشیمیایی الکتروولیت و الکترود ارائه می‌دهد. علاوه بر این آزمون شارژ/دشارژ متوالی سل آندی گرافیت طبیعی نیز به کار گرفته شده است تا برگشت‌پذیری گرافیت آند گرافیت طی چرخه‌های شارژ/دشارژ مورد مطالعه قرار گیرد.

## (۲) بخش تجربی (۱۲) مواد

در پژوهش حاضر از گرافیت طبیعی (شرکت Targray) به عنوان ماده فعال آندی استفاده شده است. کربن سیاه (شرکت Tim-cal) نیز به عنوان ماده افزودنی به منظور بهبود رسانایی آند، مورد استفاده قرار گرفته است. علاوه بر این یکی از مشتقات سلولز یعنی کربوکسی‌متیل‌سلولز (CMC) از شرکت Gelon به عنوان ماده چسباننده به کار گرفته شده است. افزودنی ماده چسباننده نیز استایرن



شکل (۱) نمایش طرح‌وار یک باتری لیتیم-یونی که در آن گرافیت و  $\text{LiCoO}_2$  به ترتیب به عنوان آند و کاتد به کار رفته‌اند (به ازای هر ۶ اتم کربن ۱ اتم لیتیم ذخیره می‌شود) [۱۴].

باتری‌های لیتیم-یونی به دلیل چگالی انرژی بالا و عمر چرخه‌ای طولانی، جذاب‌ترین سیستم‌های ذخیره انرژی هستند [۱۲-۲۰] که به منظور توسعه تجهیزات الکترونیکی قابل حمل، وسایل نقلیه الکتریکی و ذخیره انرژی‌های تجدیدپذیر به طور گسترده مورد بررسی و مطالعه قرار می‌گیرند [۳-۵]. گرافیت طبیعی با توجه به پتانسیل کم و پایدار، هزینه کم، ظرفیت برگشت‌پذیر نسبتاً بالا (حدود ۳۷۰ mAh/g) و بازده کولمیک بالا در الکتروولیت‌های مناسب (مانند الکتروولیت‌های پایه اتیلن کربنات) یک گزینه مطلوب برای مواد آندی در باتری‌های لیتیم یون می‌باشد [۷]. طی فرایند فرماسیون (ولین مراحل شارژ/دشارژ پس از مونتاژ) یک سل لیتیم-یونی، بخشی از لیتیمی که توسط الکتروولیت و الکترود مثبت در دسترس قرار می‌گیرد صرف تشکیل لایه فصل مشترک الکتروولیتی جامد (SEI) روی سطح گرافیت می‌شود [۸]. لایه SEI یک فیلم سطحی است که از طریق تجزیه الکتروولیت در باتری لیتیم-یون روی سطح آند تشکیل می‌گردد. این فیلم از الکتروولیت در برابر تجزیه بیشتر محافظت می‌کند و همچنین روی ایمنی، ظرفیت، توان، عمر چرخه‌ای و عملکرد باتری لیتیم-یون مؤثر است [۹]. با این حال فیلم SEI با محدود کردن انتقال یون لیتیم و ایجاد مقاومت در سراسر فیلم، باعث محدود شدن جریان، ظرفیت و پاسخ دینامیکی باتری‌های لیتیم-یونی، لایه SEI باستی نسبت منظور عملکرد مطلوب باتری لیتیم-یونی، لایه SEI باستی نسبت به یون‌های لیتیم بسیار نفوذپذیر باشد تا قطبش غلظتی به حداقل برسد، و همچنین لایه SEI باید یک مقاومت الکترونیکی باشد تا از ضخیم شدن آن جلوگیری شود و منجر به ایجاد مقاومت داخلی بالا، دشارژ خودبه‌خودی و کاهش بازده باتری لیتیم-یون نگردد [۱۰-۱۲]. ترکیبات کربنی می‌توانند ساختارهای متفاوت و در نتیجه خصوصیات متفاوتی داشته باشند. گرافیت که یکی از متدائل‌ترین ساختارهای کربن است، از اتم‌های کربن هیبریدی  $\text{sp}^2$  ساخته شده که در یک شبکه‌ی لانه‌نبوری سطحی چیده شده‌اند. نیروهای واندوالس یک چسیندگی ضعیف بین هر دو لایه‌ی مجاور ایجاد می‌کنند که منجر به ایجاد ساختار لایه‌ای گرافیت می‌شود. گرافیت دارای هدایت الکتریکی  $\pi$  بالا در درون لایه‌های خود است که به دلیل تحرک الکترون‌های  $\pi$  (الکترون‌های غیر مستقر) می‌باشد. در مقابل هدایت الکتریکی گرافیت در بین لایه‌ها کم است. این ساختار ویژه کربن در گرافیت باعث می‌شود که لیتیم بتواند به راحتی در بین لایه‌های آن قرار گیرد و واکنش تبادل الکترون را انجام دهد [۱۳].

با توجه به شکل ۱ در گرافیت به ازای هر ۶ اتم کربن حداقل یک اتم لیتیم می‌تواند ذخیره شود. از آنجا که ظرفیت به طور مستقیم با مقدار لیتیم ذخیره شده مرتبط است، گرافیت در مقایسه با آند فلزی لیتیم، ظرفیت پایینی دارد، اما چون مشکل رشد دندرتی فلز لیتیم را ندارد به عنوان یک آند تجاری مورد استفاده قرار می‌گیرد [۱۴]. در آندهای گرافیتی درک مناسب و صحیح از فرایند تشکیل لایه SEI در آندهای گرافیتی

آون خلاً و در دمای ۶۰ درجه سانتی گراد خشک گردید. شکل ۲ تصویر الکترود آند ساخته شده را پس از خشک شدن نشان می دهد. به منظور یکنواختی مطلوب تر، الکترود آند ساخته شده پس از ۱۲ ساعت خشک شدن، تحت پرس غلتکی قرار گرفته است. شکل ۳ نیز تصویر SEM الکترود آند ساخته شده را با دو بزرگنمایی هزار و پنج هزار برابر نشان می دهد که دارای ذراتی با اندازه حدود ۱۵ میکرومتر می باشد.

### ۲(۲) ساخت سل سکه‌ای آندی

به منظور ساخت سل سکه‌ای آندی ابتدا الکترود آند ساخته شده و همچنین غشاء پلیمری به ترتیب به صورت قرص‌هایی به قطر ۱۴ و ۱۸ میلی‌متر پانچ شده و برای رفع آلودگی‌های آلی و رطوبت به مدت یک ساعت در آون خلاً (دمای ۶۰ درجه سانتی گراد) قرار گرفتند. سپس اجزاء بدنه سل سکه‌ای شامل سریوش مثبت و منفی، فنر و فضاپرکن به منظور رفع آلودگی‌های احتمالی به مدت ۱۰ دقیقه در استون درون حمام آتراسونیک قرار داده شد و پس از آن خشک گردید. از آن جایی که الکتروولیت مورد استفاده در باتری لیتیم-یون و در پی آن فرایند مونتاژ بسیار به رطوبت حساس می باشد، لذا سل سکه‌ای در گلاوباکس مونتاژ شده است. بدین منظور ابتدا تمام اجزاء موردنیاز برای ساخت سل سکه‌ای طبق دستورالعمل خاص خود وارد گلاوباکس شدند. سپس اجزای

بوتاکین رابر (SBR) می باشد تا انعطاف‌پذیری مناسب الکترود آند حاصل گردد. برای ساخت الکترودهای آندی از فویل مسی به عنوان جمع‌کننده جریان استفاده شده و دوغاب مواد فعال روی آن پوشش داده شده است.

### ۲(۲) روش‌های آزمایشگاهی

#### ۱(۲) ساخت الکترود آند

برای ساخت الکترود آند ماده فعال گرافیت طبیعی، ماده افزودنی کربن سیاه و چسب CMC/SBR با نسبت‌های ارائه شده در جدول ۱ مورد استفاده قرار گرفتند.

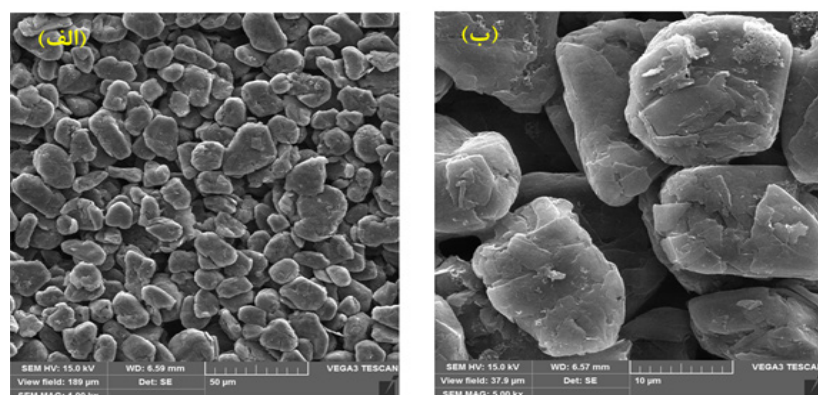
برای حذف آلودگی‌های آلی و رطوبت، ماده فعال گرافیت و ماده افزودنی کربن سیاه به مدت ۲ ساعت در دمای ۲۲۰ درجه سانتی گراد در آون خلاء قرار داده شد. سپس به منظور آسیاب‌کاری و اختلاط مواد از آسیاب سیارهایی به مدت ۳۰ دقیقه با سرعت ۲۰۰ rpm استفاده گردید. طبق درصدهای ذکر شده در جدول ۱ مقدار موردنیاز از چسب CMC و SBR به همراه آب قطره درون یک بشر مخلوط شدند. سپس ماده فعال گرافیت و ماده افزودنی کربن سیاه به چسب اضافه ۲۰۰ rpm گردید و مخلوط حاصل به مدت ۱/۵ ساعت با سرعت ۱/۵ rpm توسط همزن خلاء مخلوط شد. سپس دوغاب آندی به دست آمده با ضخامت ۱۶۰ میکرومتر توسط دستگاه پوشش دهنده فیلم روی فویل مسی پوشش دهی شد. پس از آن الکترود به مدت ۱۲ ساعت درون

جدول ۱) نسبت وزنی مواد مورد استفاده در ساخت الکترود آند

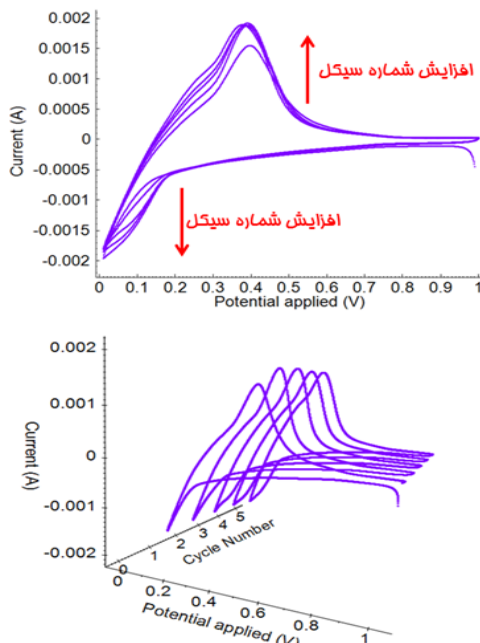
ماده قمال گرافیتی	ماده افزودنی کربن سیاه	(CMC)	ماده چیانند (SBR)	اقزودنی چسب
۹۴٪/۱۵	۱٪	۲٪/۲۵	۲٪/۲۵	



شکل ۲) الکترود آند ساخته شده پس از خشک شدن



شکل ۳) تصویر SEM الکترود آند ساخته شده با دو بزرگنمایی هزار (الف) و پنج هزار برابر (ب)



شکل ۵) ولتاوی چرخه‌ای سل سکه‌ای آند گرافیت طبیعی در محدوده ولتاژ  $-0.1$  /  $+0.1$  V برای ۵ چرخه متوالی با نرخ روبش  $0.2$  mV/s

سل سکه‌ای مطابق چیدمان نشان داده شده در شکل ۴ روی هم قرار گرفتند. فرایند تزریق الکتروولیت نیز به نحوی انجام شد که با قرارگیری هر یک از اجزای سل سکه‌ای مقدار مشخصی الکتروولیت تزریق گردید تا اجزای فعل سل سکه‌ای کاملاً آغشته به الکتروولیت باشند. در پایان پس از قرار دادن سرپوش منفی، سل آندی توسط دستگاه مونتاژ کننده سل سکه‌ای فشرده و آبندی شد.

**(۲۳) اندازه‌گیری‌های الکتروشیمیایی آند**  
اندازه‌گیری‌های ولتاوی چرخه‌ای به وسیله دستگاه پتانسیوواستات-گالوانوواستات Autolab PGSTAT204 انجام شده است. برای سل سکه‌ای آند گرافیت، پتانسیل ابتدا از ولتاژ مدار باز (OCV) تا  $5$  V روبش شده است، سپس پتانسیل به  $1$  V بازگشته است. برای چرخه‌های متوالی، روبش پتانسیل بین  $1$  و  $5$  V با سرعت روبش  $0.2$  mV/s انجام شده است.

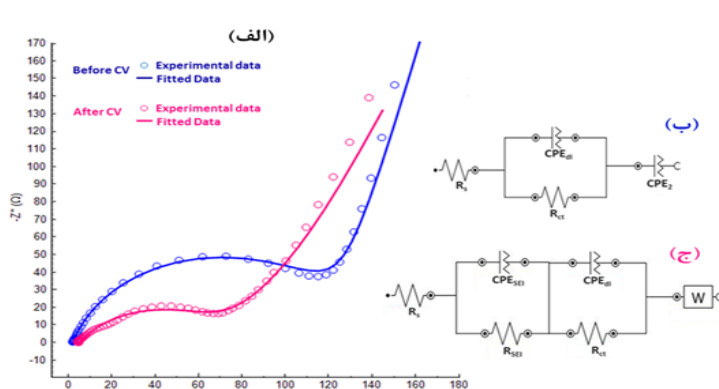
اندازه‌گیری‌های طیف‌سنجی امپدانس الکتروشیمیایی (EIS) نیز توسط دستگاه Autolab PGSTAT204 قبل و بعد از تست ولتاوی چرخه‌ای و در گستره فرکانسی  $10$  mHz تا  $100$  kHz با  $5$  mV صورت گرفته است. برآش داده‌های موج سینوسی با دامنه  $5$  mV صورت گرفته و مدارهای الکتریکی با استفاده از نرم‌افزار NOVA صورت گرفته و مدارهای الکتریکی معادل برای طیف‌های امپدانس سل آندی گرافیت به دست آمدند.

آزمون شارژ/دشارژ سل سکه‌ای آند گرافیت نیز در محدوده ولتاژ  $-0.1$  /  $+0.1$  V توسط دستگاه تست باتری BTS8000 انجام شده است.

### ۳) نتایج و بحث

#### (۱) مطالعه ولتاوی چرخه‌ای

شکل ۵ منحنی ولتاوی چرخه‌ای سل سکه‌ای آند گرافیت طبیعی را در محدوده ولتاژ  $-0.1$  /  $+0.1$  V برای ۵ چرخه متوالی با نرخ روبش  $0.2$  mV/s نشان می‌دهد. هنگامی که پتانسیل در چرخه اول از ولتاژ مدار باز تا  $5$  V روبش می‌شود، تشکیل لایه SEI به علت



شکل ۶) طیف امپدانس مربوط به سل سکه‌ای آند گرافیت طبیعی قبل و بعد از ولتاوی چرخه‌ای (الف) در محدوده فرکانسی  $10$  mHz تا  $100$  kHz. قبل از تشکیل (ب) و بعد از تشکیل لایه SEI (ج).

جدول (۲) پارامترهای به دست آمده از مدار معادل طیف‌های امپدانس قبل و بعد از ولتاوری چرخه‌ای

		Before CV					
R <sub>s</sub> (Ω)	R <sub>ct</sub> (Ω)	CPE <sub>dL</sub>		CPE <sub>2</sub>			
1.85	122	Y <sub>0</sub> (μMho)	n	Y <sub>0</sub> (mMho)	n		
		47	0.80	1.03	0.85		
		After CV					
R <sub>s</sub> (Ω)	R <sub>SEI</sub> (Ω)	R <sub>ct</sub> (Ω)	CPE <sub>SEI</sub>	CPE <sub>dL</sub>	W (mMho)		
3.97	24.10	28.50	Y <sub>0</sub> (μMho)	n	Y <sub>0</sub> (μMho)	n	26.70
			966	0.61	955	0.95	

لایه SEI می‌باشد. از همین رو بررسی امپدانس الکتروشیمیابی برای آند گرافیتی ساخته شده صورت پذیرفته است. شکل ۶ (الف) طیف امپدانس آند گرافیت طبیعی را قبل و بعد از ولتاوری چرخه‌ای نشان می‌دهد. مدارهای الکتریکی معادل برای طیف‌های امپدانس سل آندی گرافیت قبل از ولتاوری چرخه‌ای (شکل ۶ (ب)) و بعد از ولتاوری چرخه‌ای (شکل ۶ (ج)) به دست آمده‌اند. طیف امپدانس قبل از ولتاوری چرخه‌ای دارای یک نیم‌دایره در فرکانس‌های بالا و متوسط می‌باشد که این نیم‌دایره متناظر با حلقه به دست آمده در مدار معادل است. پس از چرخه‌های ولتاوری، طیف امپدانس سل آندی گرافیت شامل دو نیم‌دایره در گستره فرکانسی بالا و متوسط، و یک خط دنباله در فرکانس‌های پایین می‌باشد که عناصر مدار معادل مربوط به آن نیز این موضوع را تأیید می‌کند. در طیف امپدانس پس از ولتاوری چرخه‌ای، تشکیل یک نیم‌دایره کوچک در فرکانس‌های بالا نشان‌دهنده تشکیل فیلم SEI است. در این مدار معادل R<sub>s</sub> نشان‌دهنده مقاومت‌های کلی الکتروولیت، الکتروود و غشا می‌باشد. عناصر R<sub>SEI</sub> و CPE<sub>SEI</sub> به ترتیب مقاومت الکتروود و غشا می‌باشد. نیز این مدار معادل مقاومت خازنی (W) است. در این مدار معادل CPE<sub>dL</sub> را نشان می‌باشد، و R<sub>ct</sub> و CPE<sub>2</sub> انتقال بار و ظرفیت می‌باشند. مقاومت واربرگ (W) مربوط به مهاجرت یون‌های لیتیم از میان لایه SEI و ظرفیت خازنی فیلم SEI را نشان می‌نماید. مقاومت خازنی (W) مربوط به عدم وجود عنصر واربرگ بحث نفوذ یون‌های لیتیم در الکتروود گرافیت مطروح نمی‌باشد و به جای آن خاصیت خازنی (متناظر با عنصر<sub>2</sub>) وجود دارد. اما پس از ولتاوری چرخه‌ای و با تشکیل لایه SEI، خاصیت خازنی الکتروود تبدیل به مقاومت واربرگ شده و پدیده نفوذ یون‌های لیتیم در الکتروود گرافیت رخ می‌دهد. پارامترهای به دست آمده از مدار معادل طیف‌های امپدانس قبل و بعد از ولتاوری چرخه‌ای در جدول ۲ گزارش شده است.

علاوه بر این نتایج نشان می‌دهد که مقاومت داخلی سل آند گرافیت طبیعی (R<sub>s</sub>) پس از چرخه‌های ولتاوری افزایش یافته است که این موضوع ناشی از پیشرفت تجزیه الکتروولیت و مصرف یون لیتیم آن در تشکیل لایه SEI می‌باشد. با توجه به نتایج برآش طیف‌های امپدانس، مقاومت داخلی سل قبل از ولتاوری چرخه‌ای ۱/۸۵ Ω

تجزیه الکتروولیت آغاز می‌گردد. در حالت ایده‌آل لایه SEI مسیر حلال‌های الکتروولیت را مسدود کرده و تنها یون لیتیم می‌تواند از فیلم SEI عبور کند و درون گرافیت قرار گیرد (در حوالی ۰/۱ V). هنگامی که پتانسیل به صورت عکس تا ۰/۰ V روشش می‌شود، یون‌های درج شده لیتیم از آند گرافیت خارج می‌شوند. همان‌طور که در شکل ۵ نشان داده شده است به نظر نمی‌رسد که فیلم SEI در چرخه ابتدایی به طور کامل روی آند گرافیت تشکیل شده باشد، چرا که با پیشرفت چرخه‌های شارژ/دشارژ افزایش جریان کاتدی (قله جریان در حوالی ۰/۱ V) ادامه می‌یابد که نشان‌دهنده تجزیه بیشتر الکتروولیت است. با توجه به شکل ۵ به نظر نمی‌رسد که با افزایش چرخه‌های الکتروشیمیابی، فیلم SEI طی روش‌های متواالی به گندی تشکیل می‌گردد، چرا که قله‌های جریان کاتدی و آندی به سمت پایدار شدن پیش می‌روند. بنابراین با شروع چرخه سوم، لایه SEI تشکیل شده به پایداری نزدیک می‌شود.

روش فرماسیون که یک مرحله اساسی و زمان بر در تولید با تری لیتیم- یون می‌باشد بر اساس ولتاژ قله‌های اکسایش- کاهش در نیم‌سل‌های آند و کاتد، و همچنین بررسی پایداری SEI تشکیل شده روی آند قابل دست‌یابی است. چرخه‌های شارژ/دشارژ در مرحله فرماسیون یک سل لیتیم- یونی می‌تواند به صورت جریان ثابت، ولتاژ ثابت و یا ترکیب‌هایی از این دو انجام شود. بنابراین با توجه به نتایج ولتاوری چرخه‌ای می‌توان گفت برای یک سل لیتیم- یونی کامل که از آند گرافیت طبیعی استفاده می‌کند ولتاژ ۰/۱ V یک نقطه بحرانی برای تشکیل لایه SEI روی آند می‌باشد که با استی برای تعیین ولتاژ ثابت در مرحله فرماسیون سل لیتیم- یونی (با توجه به ولتاژ اکسایش کاتد) مدنظر قرار گیرد. از طرفی با توجه به آن که پس از چرخه دوم، لایه SEI تقریباً به پایداری رسیده است، می‌توان گفت روش فرماسیون یک سل لیتیم- یونی با آند گرافیت می‌تواند در دو چرخه شارژ/دشارژ انجام پذیرد.

### (۳) مطالعه امپدانس الکتروشیمیابی

طیف‌سنجی امپدانس الکتروشیمیابی یک روش غیرمخرب و ابزاری مفید برای مطالعه رفتار الکتروشیمیابی مواد الکتروودی و خواص سطحی آن‌ها از جمله مقاومت و ظرفیت خازنی تشکیل

است که این موضوع در تطابق با نتایج ولتاژی چرخه‌ای می‌باشد. علاوه بر این بازده شارژ/دشارژ آند گرافیت طبیعی پس از فرایند فرماسیون حدود ۹۹/۵٪ می‌باشد که نشان دهنده عملکرد مناسب و فرایند فرماسیون مطلوب آند مورد استفاده می‌باشد و حاکی از تشکیل تقریباً کامل لایه SEI است.

اندازه‌گیری ظرفیت آند گرافیت طبیعی به صورت چرخه‌های شارژ/دشارژ متولی در نزخ‌های مختلف نیز انجام شده که نتایج آن در جدول ۴ و شکل ۸ ارائه گردیده است. در این بررسی ابتدا فرایند فرماسیون اولیه برای سل سکه‌ای آند گرافیت با نزخ C/۱۰ انجام شده است. سپس سل آندی ۵ چرخه شارژ/دشارژ با نزخ C/۰/۲، ۵ چرخه با نزخ C/۰/۵ و مجدداً ۵ چرخه با نزخ C/۰/۰/۲ را طی کرد

بوده که پس از چرخه‌های الکتروشیمیایی و تشکیل لایه SEI این مقدار به ۳/۶۷ Ω رسیده است، با این حال پس از ولتاژی چرخه‌ای، مقاومت انتقال بار (R<sub>ct</sub>) از ۱۲۲ Ω به ۲۸/۵ Ω کاهش یافته است که این موضوع نشان دهنده تسهیل فرایند انتقال بار پس از تشکیل لایه SEI می‌باشد.

### (۳) آزمون شارژ/دشارژ متولی آند گرافیت طبیعی

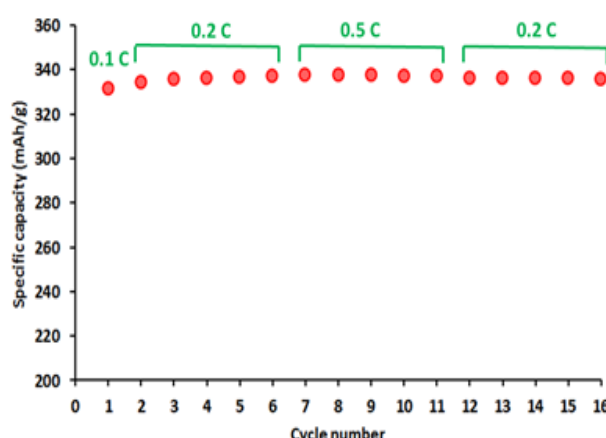
پروفایل شارژ/دشارژ آند گرافیت طبیعی برای چرخه‌های اول و دوم در شکل ۷ نشان داده شده و نتایج مربوط به آن در جدول ۳ گزارش شده است. سل سکه‌ای آندی ساخته شده در چرخه اول از ولتاژ شده است. سل سکه‌ای آندی ساخته شده در چرخه اول از ولتاژ V=۱/۰/۰ تا V=۱/۰/۱ با نزخ C/۱۰ شارژ شده است. رژیم

جدول (۳) مشخصات شارژ/دشارژ آند گرافیت طبیعی در چرخه‌های اول و دوم

شماره چرخه	ظرفیت شارژ (mAh/g)	ظرفیت دشارژ (mAh/g)	ظرفیت غیربرگشتپذیر (mAh/g)	بازدهی شارژ/دشارژ (%)
اول	۳۴۷/۰/۳	۳۳۱/۰/۴	۱۵۴/۹	۹۵/۵۴
دوم	۳۳۶/۰/۴	۳۳۴/۰/۸	۱۱۸/۶	۹۹/۴۵

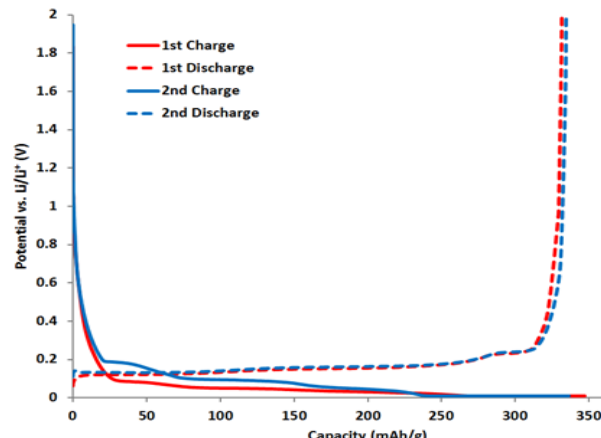
جدول (۴) ظرفیت آند گرافیت طبیعی در نزخ‌های مختلف شارژ/دشارژ

شماره چرخه	نزخ شارژ/دشارژ	ظرفیت قیمه دشارژ (mAh/g)
۱	۰/۱ C	۳۳۱/۰/۴
۲	۰/۲ C	۳۳۴/۰/۸
۳	۰/۲ C	۳۳۵/۰/۶
۴	۰/۲ C	۳۳۶/۰/۴
۵	۰/۲ C	۳۳۶/۰/۳
۶	۰/۲ C	۳۳۶/۰/۲
۷	۰/۱ C	۳۳۷/۰/۲
۸	۰/۱ C	۳۳۷/۰/۲
۹	۰/۱ C	۳۳۷/۰/۲
۱۰	۰/۱ C	۳۳۷/۰/۲
۱۱	۰/۱ C	۳۳۶/۰/۳
۱۲	۰/۲ C	۳۳۶/۰/۵
۱۳	۰/۲ C	۳۳۶/۰/۴
۱۴	۰/۲ C	۳۳۶/۰/۴
۱۵	۰/۲ C	۳۳۵/۰/۵
۱۶	۰/۲ C	۳۳۵/۰/۵



شکل (۸) ظرفیت ویژه آند گرافیت طبیعی در چرخه‌های متولی با نزخ‌های مختلف شارژ/دشارژ

شارژ آند به صورت جریان ثابت-ولتاژ ثابت می‌باشد که در مرحله ولتاژ ثابت، جریان تا مقداری معادل C/۱۰۰ کاهش می‌باشد. سپس سل سکه‌ای آندی از ولتاژ V=۰/۰/۱ با جریان ثابت معادل C/۱۰ تا ولتاژ V=۰/۰/۲ دشارژ شده است. ظرفیت ویژه شارژ در چرخه اول برابر با ۳۴۷/۰/۳ mAh/g است و این مقدار در دشارژ اول برابر با ۳۳۱/۰/۴ mAh/g می‌باشد. بنابراین مقدار ظرفیت غیربرگشتپذیر در چرخه اول (۱۵/۴۹ mAh/g) صرف تشکیل لایه SEI روی آند گرافیت شده است. در چرخه دوم اما آند گرافیت طبیعی دارای ۳۳۶/۰/۴ mAh/g ظرفیت شارژ و ۳۳۴/۰/۸ mAh/g ظرفیت دشارژ می‌باشد. بنابراین با توجه به کاهش ظرفیت غیربرگشتپذیر و رسیدن آن به مقدار ۱/۸۶ mAh/g در چرخه دوم می‌توان نتیجه گرفت که بخش زیادی از لایه SEI در چرخه اول تشکیل شده



شکل (۷) پروفایل شارژ/دشارژ آند گرافیت طبیعی در چرخه‌های اول و دوم

## ۵) مراجع

- [1] V. Etacheri, R. Marom, R. Elazari, G. Salitra, and D. Aurbach, "Challenges in the development of advanced Li-ion batteries: a review," *Energy & Environmental Science*, vol. 4, no. 9, pp. 3243-3262, 2011.
- [2] M. Sarshar, M. Zarei-Jelyani, and M. Babaiee, "Application of semi empirical and Multiphysics models in simulating lithium ion battery operation," presented at the 10th International Chemical Engineering Congress and Exhibition (IChEC 2018), Isfahan, Iran, 2018.
- [3] R. Zhang et al., "Water soluble styrene butadiene rubber and sodium carboxyl methyl cellulose binder for ZnFe<sub>2</sub>O<sub>4</sub> anode electrodes in lithium ion batteries," *Journal of Power Sources*, vol. 285, pp. 227-234, 2015.
- [4] B. L. Ellis, K. Town, and L. F. Nazar, "New composite materials for lithium-ion batteries," *Electrochimica Acta*, vol. 84, pp. 145-154, 2012.
- [5] M. M. Loghavi, M. Mohammadi-Manesh, R. Eqra, A. Ghaseemi, and M. Babaiee, "DFT Study of Adsorption of Lithium on Si, Ge-doped Divacancy Defected Graphene as Anode Material of Li-ion Battery," *Physical Chemistry Research*, vol. 6, no. 4, pp. 871- 878, 2018.
- [6] I. Stenina, T. Kulova, A. Skundin, and A. Yaroslavtsev, "CARBON COMPOSITES AS ANODE MATERIALS FOR LITHIUM-ION BATTERIES," *Reviews on Advanced Materials Science*, vol. 49, no. 2, 2017.
- [7] M. Yoshio, H. Wang, K. Fukuda, T. Umeno, T. Abe, and Z. Ogumi, "Improvement of natural graphite as a lithium-ion battery anode material, from raw flake to carbon-coated sphere," *Journal of Materials Chemistry*, vol. 14, no. 11, pp. 1754-1758, 2004.
- [8] V. Sharova, A. Moretti, G. A. Giffin, D. V. Carvalho, and S. Passerini, "Evaluation of Carbon-Coated Graphite as a Negative Electrode Material for Li-Ion Batteries," *C*, vol. 3, no. 3, p. 22, 2017.
- [9] J. J. Wu and W. R. Bennett, "Fundamental investigation of Si anode in Li-ion cells," in *Energytech*, 2012 IEEE, 2012, pp. 1-5: IEEE.
- [10] K. Edström, M. Herstedt, and D. P. Abraham, "A new look at the solid electrolyte interphase on graphite anodes in Li-ion batteries," *Journal of Power Sources*, vol. 153, no. 2, pp. 380-384, 2006.
- [11] A. Smith, J. C. Burns, X. Zhao, D. Xiong, and J. Dahn, "A high precision coulometry study of the SEI growth in Li/graphite cells," *Journal of The Electrochemical Society*, vol. 158, no. 5, pp. A447-A452, 2011.
- [12] M. D. Bhatt and C. O'Dwyer, "Recent progress in theoretical and computational investigations of Li-ion battery materials and electrolytes," *Physical Chemistry Chemical Physics*, vol. 17, no. 7, pp. 4799-4844, 2015.
- [13] E. Kamali-Heidari, A. Kamyabi-Gol, and A. Ataie, "Electrode Materials for Lithium Ion Batteries: A Review," *Journal of Ultra-*

است تا پایداری ظرفیت آند در نرخ‌های مختلف شارژ/دشارژ مورد بررسی قرار گیرد. نتایج به دست آمده نشان‌دهنده پایداری ظرفیت سل سکه‌ای آند گرافیت در نرخ‌های C ۰/۲ و C ۰/۵ می‌باشد. علاوه‌بر این سل سکه‌ای مورد بررسی پس از طی کردن شانزده چرخه متوالی شارژ/دشارژ با نرخ‌های مختلف، %۹۹/۴۵ را حفظ نموده است که نشان‌دهنده پایداری ظرفیت آند گرافیت پس از تشکیل لایه SEI می‌باشد.

## ۶) نتیجه گیری

نتایج آزمون ولتاوری چرخه‌ای برای سل سکه‌ای آند گرافیت طبیعی نشان می‌دهد که بخش اعظم لایه SEI در چرخه اول تشکیل می‌گردد و با ادامه چرخه‌های ولتاوری لایه SEI به پایداری می‌رسد، چرا که از چرخه دوم به بعد قله‌های جریان کاتدی و آندی به سمت پایدار شدن پیش می‌روند. علاوه‌بر این اندازه‌گیری‌های امپدانس الکتروشیمیابی نشان می‌دهد که پس از چرخه‌های ولتاوری، طیف امپدانس تغییر کرده و یک نیم‌دایره کوچک در فرکانس‌های بالا اضافه شده است که بیان گر تشکیل فیلم SEI می‌باشد و با افزایش مقاومت داخلی سل آند گرافیت (R<sub>s</sub>) پس از ولتاوری چرخه‌ای می‌توان گفت برای یک سل لیتیم-یونی کامل که از آند گرافیت طبیعی استفاده می‌کند ولتاژ ۰/۱ V یک نقطه بحرانی برای تشکیل لایه SEI روی آند می‌باشد که بایستی برای تعیین ولتاژ ثابت در مرحله فرماسیون سل لیتیم-یونی (در کنار ولتاژ اکسایش کاتد) مدنظر قرار گیرد. همچنین مقاومت انتقال بار (R<sub>ct</sub>) پس از چرخه‌های الکتروشیمیابی از ۱۲۲ به ۲۸/۵ Ω کاهش یافته است که این موضوع نشان‌دهنده تسهیل فرایند انتقال بار پس از تشکیل لایه SEI می‌باشد. نتایج آزمون شارژ/دشارژ متوالی سل سکه‌ای آند گرافیت نیز نشان می‌دهد که مقدار ظرفیت غیربرگشت‌پذیر در چرخه اول (که صرف تشکیل لایه SEI شده) به مراتب بیشتر از مقدار ظرفیت غیربرگشت‌پذیر در چرخه‌های بعدی است که این موضوع نشان‌دهنده تشکیل بخش زیادی از لایه SEI در چرخه اول است. با توجه به آن که پس از چرخه دوم، لایه SEI تقریباً به پایداری رسیده است، می‌توان گفت روش فرماسیون یک سل لیتیم-یونی با آند گرافیت می‌تواند در دو چرخه شارژ/دشارژ انجام پذیرد.

fine Grained and Nanostructured Materials, vol. 51, no. 1, pp. 1-12, 2018.

[14] M.-K. Song, S. Park, F. M. Alamgir, J. Cho, and M. Liu, “Nanostructured electrodes for lithium-ion and lithium-air batteries: the latest developments, challenges, and perspectives,” Materials Science and Engineering: R: Reports, vol. 72, no. 11, pp. 203-252, 2011.

[15] Y. M. Lee, J. Y. Lee, H.-T. Shim, J. K. Lee, and J.-K. Park, “SEI layer formation on amorphous Si thin electrode during pre-cycling,” Journal of The Electrochemical Society, vol. 154, no. 6, pp. A515-A519, 2007.

[16] W. Chen, Z. Ou, H. Tang, H. Wang, and Y. Yang, “Study of the formation of a solid electrolyte interphase (SEI) in ionically crosslinked polyampholytic gel electrolytes,” Electrochimica Acta, vol. 53, no. 13, pp. 4414-4419, 2008.